

## О МЕХАНИЗМЕ ФОТОПРОВОДИМОСТИ КРИСТАЛЛОВ МАГНИТНОГО ПОЛУПРОВОДНИКА $\text{CdCr}_2\text{Se}_4$

Голик Л. Л., Кунькова З. Э.

Представлены расчеты температурных зависимостей фотопроводимости кристаллов магнитного полупроводника  $\text{CdCr}_2\text{Se}_4$ , выполненные на основе трехцентровой модели компенсированного полупроводника с учетом зависимости глубины залегания одного из центров, расположенного в верхней части запрещенной зоны, от степени магнитного упорядочения материала. Модель хорошо описывает основные особенности экспериментальных зависимостей фотопроводимости кристаллов  $\text{CdCr}_2\text{Se}_4\langle\text{Ga}\rangle$ .

Исследованиям фотоэлектрических свойств ферромагнитного полупроводника  $\text{CdCr}_2\text{Se}_4$  посвящено большое количество работ (см., например, [<sup>1-4</sup>] и библиографию к ним). Изучены спектральные и температурные зависимости фотопроводимости (ФП) как «чистых», так и легированных (Ga, In, Ag) кристаллов, а также влияние на ФП внешнего магнитного поля. Несмотря на некоторое различие результатов разных авторов, которое, вероятно, связано с неконтролируемой нестехиометрией исследовавшихся кристаллов, анализ экспериментальных данных выявляет следующие закономерности.

1. Сдвиг низкоэнергетического края ФП в сторону меньших энергий при понижении температуры ( $T < 160$  К).

2. Уменьшение величины ФП на 2–3 порядка при понижении температуры в интервале 250–77 К для чистых, легированных Ag и слабо легированных Ga, In (концентрация примеси  $x < 0.03$  вес %) кристаллов (кристаллы A-типа).

3. Наличие минимума ФП для кристаллов, легированных Ga, In ( $x = 0.03$ –0.4 вес %), причем глубина минимума и его температурное положение ( $T_{\min} = 150$ –110 К) зависят от степени легирования и спектрального состава падающего на кристалл света (кристаллы B-типа); сильное различие формы спектров ФП при 300 и 77 К для этих кристаллов.

4. Наличие инфракрасного (ИК) гашения и индуцированной примесной ФП при температурах, близких к 77 К, в кристаллах B-типа.

5. Наличие сильного эффекта отрицательного фотомагнитосопротивления (ФМС) в кристаллах B-типа с максимумом эффекта при температурах, близких к температуре Кюри ( $T_K = 130$  К); в кристаллах A-типа при  $T = T_K$  имеет место максимум положительного ФМС.

6. Наличие уровней прилипания и влияние магнитного упорядочения на прилипание носителей.

7. В кристаллах A-типа основные photoносители — дырки; в кристаллах B-типа наблюдаются биполярная ФП в области минимума ФП, ФП p-типа при высоких и n-типа при низких температурах.

Для объяснения наблюдаемых фактов, в первую очередь температурного поведения ФП в  $\text{CdCr}_2\text{Se}_4$ , был высказан ряд предположений, однако каких-либо расчетов ФП не проводилось. В [<sup>5</sup>] наличие глубокого минимума ФП и отрицательное ФМС в кристаллах B-типа связывалось с образованием ферронных состояний и локализацией fotoэлектронов на этих состояниях, но данное предположение не объясняет результаты, отмеченные в п. 7. В [<sup>2</sup>] результаты исследований ФП в кристаллах B-типа качественно интерпретированы на ос-

нове двухцентровой модели с очищающим рекомбинационным  $r$ -центром [6] при наличии ловушек для электронов с глубиной залегания, зависящей от степени магнитного упорядочения вещества. В данной работе проведен расчет температурных зависимостей ФП в  $\text{CdCr}_2\text{Se}_4$  с использованием модели, содержащей три типа рекомбинационных центров:  $s$ -центров, расположенных вблизи середины запрещенной зоны, очищающих  $r$ -центров для  $n$ -ФП и очищающих  $t$ -центров для  $p$ -ФП. В кристаллах  $\text{CdCr}_2\text{Se}_4$   $r$ -центрами являются, по-видимому, вакансии Cd, в то время как за  $t$ -центры могут быть ответственны Ga, In, вакансии Se или их комплексы [2]. Схема рассматриваемых уровней и электронных переходов представлена на вставке к рис. 1. ФП в данной модели описывается стандартными уравнениями кинетики для электронов и дырок в зонах и на центрах рекомбинации совместно с уравнением электронейтральности [6].

Согласно [2], в кристаллах  $\text{CdCr}_2\text{Se}_4$  (Ga, In), выращенных методом из раствора в расплаве, имеет место почти полная самокомпенсация материала, при-

чем с ростом уровня легирования растет концентрация  $r$ - и  $t$ -центров. В связи с этим считалось, что в темноте  $t$ -центры не заполнены электронами,  $r$ -центры полностью заполнены, а заполнение  $s$ -центров зависит от легирования. В компенсированных высокоомных материалах, к числу которых относится  $\text{CdCr}_2\text{Se}_4$ , суммарная концентрация темновых электронов на уровнях рекомбинации ( $\sum n_{i0}$ ,  $i = r, s, t$ ) значительно превосходит концентрацию

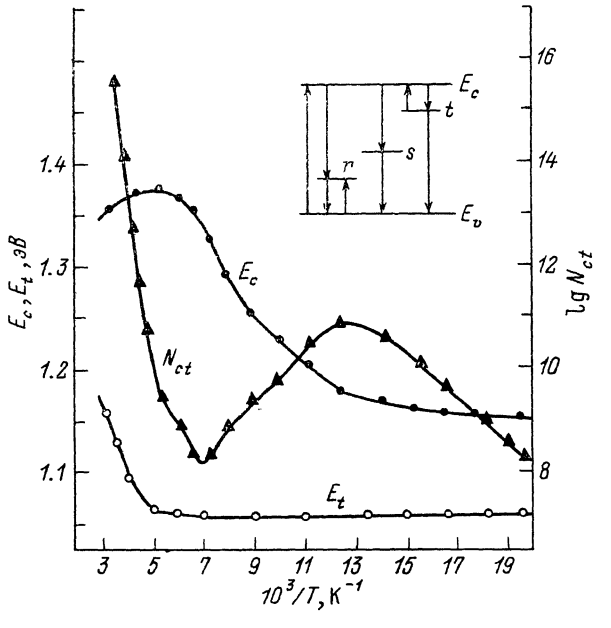


Рис. 1. Температурные зависимости энергий дна зоны проводимости  $E_c$ , донорного  $t$ -уровня  $E_t$  и величины  $N_{ct}$ , вычисленной для  $m_e = 0.4 m_0$ .

фотоносителей в зонах, поэтому ФП в рамках рассматриваемой модели определяется перезарядкой в результате освещения рекомбинационных центров, а температурная зависимость ФП — термической перелокализацией этих носителей.

Специфика магнитного полупроводника учтена в зависимости энергии ионизации  $t$ -уровней ( $\Delta E_t$ ) от степени магнитного упорядочения материала и, следовательно, от температуры и внешнего магнитного поля. В отличие от немагнитных полупроводников в  $\text{CdCr}_2\text{Se}_4$  имеет место сильное уменьшение энергий дна зоны проводимости ( $E_c$ ) и уровней донорной примеси ( $E_t$ ) при понижении температуры, связанное с магнитным упорядочением вещества, причем температурные зависимости этих энергий могут быть различными [7]. Температурная зависимость  $E_c$  относительно потолка валентной зоны, определенная на основании данных о положении края собственного поглощения [8], представлена на рис. 1. Здесь же изображена температурная зависимость  $E_t(T)$ , используемая при вычислениях. Зависимость  $E_t(T)$  в диапазонах температур 77—130 и 250—300 К определена соответственно из данных по индуцированной примесной ФП в высокоомных фотопроводящих кристаллах  $\text{CdCr}_2\text{Se}_4$  [2] и энергии активации темновой проводимости отожженных кристаллов  $\text{CdCr}_2\text{Se}_4(\text{Ga})$   $n$ -типа [9]. В промежуточной области температур зависимость  $E_t(T)$  выбиралась из условия лучшего соответствия эксперименту. Весь ход зависимости  $E_t(T)$  соответствует случаю образования вблизи донорного центра локализованного феррона [10].

Так как энергия ионизации  $t$ -центров, ответственных за ИК гашение в  $\text{CdCr}_2\text{Se}_4$ , равна  $\sim 0.3$  эВ [2], температурные зависимости неравновесных концентраций электронов в зоне проводимости ( $n$ ) и дырок в валентной зоне ( $p$ ) в области низких температур ( $T \leqslant 180$  К) определяются термическим выбросом электронов с  $t$ -уровней, который пропорционален члену  $N_{ct} = N_c \exp(-\Delta E_t / kT)$ , где  $N_c$  — эффективная плотность состояний в зоне проводимости. В отличие от немагнитных полупроводников зависимость  $N_{ct}(T)$  в  $\text{CdCr}_2\text{Se}_4$  имеет  $N$ -образный вид (рис. 1), что и является причиной аномалий ФП в этом материале.

Для нахождения зависимостей  $n(T)$  и  $p(T)$  применялась методика с использованием параметров  $g_i$  ( $g_i L$  — часть рекомбинационного потока носителей через  $i$ -е центры,  $L$  — количество генерируемых светом пар носителей в единице объема в единицу времени) [6]. Кроме того, использовались различные формы записи уравнения электронейтральности и разные приближения при вычислении параметров  $g_i$ , справедливые для определенных областей температур.

Расчеты проводились для случая, когда концентрация  $t$ -центров ( $N_t$ ) превышала  $\sum n_{i0}$ . В этом случае при  $T=0$  К темновые электроны с  $t$ - и  $s$ -центров при освещении перелокализуются на  $t$ -центры, через которые идет основной поток рекомбинации; выполняется соотношение  $p \gg n$ , а параметры  $g_i$  и величины концентраций фотоносителей определяются выражениями

$$g_i = \frac{C_{ni} p_i}{\Sigma C_{ni} p_i}, \quad n = \frac{g_i L}{C_{ni} p_i}, \quad p = \frac{g_i L}{C_{pi} n_i}. \quad (1)$$

Для  $T \neq 0$  в пренебрежении термическим выбросом дырок с  $t$ -центров ( $\Delta E_t > \Delta E_s$ ) уравнения, описывающие концентрации электронов на рекомбинационных центрах в стационарном случае, могут быть записаны в следующем виде [6]:

$$dn_t/dt = 0 = g_t L - (1 - g_t) C_{nt} N_{ct} n_t - C_{pt} p n_t, \quad (2.1)$$

$$dn_s/dt = 0 = g_s L + g_s C_{nt} N_{ct} n_t - C_{ps} p n_s, \quad (2.2)$$

$$dn_r/dt = 0 = g_r L + g_r C_{nt} N_{ct} n_t - C_{pr} p n_r, \quad (2.3)$$

где  $n_i$ ,  $p_i$  ( $i=t, s, r$ ) — концентрации электронов и дырок на центрах;  $p$  — концентрация дырок в валентной зоне;  $C_{ni}$ ,  $C_{pi}$  — коэффициенты захвата электронов и дырок центрами; остальные параметры определены выше.

При возрастании температуры начинается перелокализация электронов с  $t$ -центров на  $s$ - и далее на  $r$ -центры. Величины концентраций электронов и дырок и отвечающие им температуры вычислялись по формулам, полученным для трех уровневой модели аналогично [6]:

$$n = \frac{(1 - G_t)}{C_{ns} p_s + C_{nr} p_r}, \quad p = \frac{(1 - G_t) L C_{nr} p_r}{C_{pr} n_r (C_{ns} p_s + C_{nr} p_r)}, \quad G_t = \frac{g_t}{1 + X_t}; \quad (3)$$

$$T = \frac{E_t}{k \ln \left( \frac{C_{nt} (1 - g_t) N_c}{C_{pt} p X_t} \right)}, \quad (4)$$

где  $k$  — постоянная Больцмана, а  $X_t$  — параметр, характеризующий термический выброс электронов с  $t$ -уровней, который выражается через параметры модели и концентрацию носителей на  $t$ -центрах:

$$X_t = (1 - g_t) \left[ \frac{g_t (\Sigma n_{i0} - n_t)}{n_t C_{pt} \left( \frac{g_s}{C_{ps}} + \frac{g_r}{C_{pr}} \right)} \right]. \quad (5)$$

Ввиду отсутствия экспериментальных данных о величинах сечений захвата носителей центрами в  $\text{CdCr}_2\text{Se}_4$  при вычислениях использовались типичные значения этих величин для высокоомных фотопроводников типа АПВГ [6]. Величины концентраций уровней  $t$ - и  $r$ -типов ( $N_t$  и  $N_r$ , соответственно) выбирались близкими к значениям концентраций примеси для экспериментально исследо-

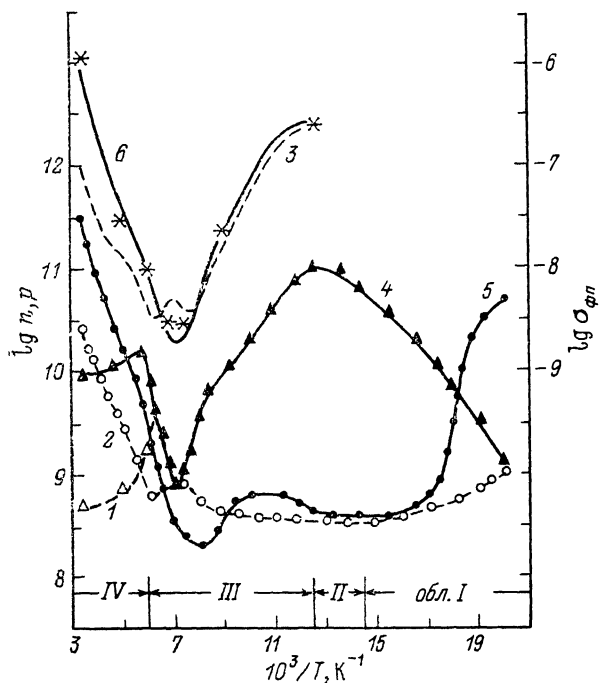
ванных кристаллов [2]. На рис. 2 (кривые 1, 2) приведены результаты расчета зависимостей  $n(T)$  и  $p(T)$ , выполненного без учета зависимостей величин сечений захвата от температуры, значения которых указаны в подписи к рисунку. Полученные результаты характерны для кристаллов  $B$ -типа. Вычисления проводились следующим образом.

*Низкие температуры (область I).* Уравнение электронейтральности записывалось в виде  $\Delta n_t - n_s = 0$ , а при вычислении параметров  $g_i$  считалось, что  $p_r = N_s$ . Для заданного значения  $\Delta n_t$  последовательно вычисляли значения  $g_i$ ,  $X_t$ ,  $G_t$ ,  $n$ ,  $p$  и  $T$ , используя выражения (1)–(5) и соотношение

$$n_r = \frac{n_s g_r C_{ps}}{g_s C_{pr}}. \quad (6)$$

С ростом температуры концентрация электронов растет, концентрация дырок падает, основной поток рекомбинации переходит на  $s$ -центры и происходит переход с  $p$ - на  $n$ -тип ФП.

*Область температур II.*  $S$ -центры почти полностью заполнены электронами, и электроны, уходящие с  $t$ -центров, заполняют  $r$ -центры. При вычисле-



ниях  $g_i$  принимается, что  $n_s = N_s$ , а уравнение электронейтральности имеет вид  $n_t = \sum n_{i0} - (N_s + n_r)$ . Для заданного  $n_r$  величины  $g_i$  и  $g_s$  вычислялись согласно (1), а  $g_s$  — из (6). Затем вычислялись  $X_t$ ,  $G_t$ ,  $n$ ,  $p$  и  $T$  с учетом того, что  $p_s =$

Рис. 2. Температурные зависимости концентраций электронов  $n$  (1, 4), дырок  $p$  (2, 5) и удельной фотопроводимости  $\sigma_{\text{ФП}}$  (3, 6), вычисленные при разных значениях параметров.

1—3 —  $C_{nt} = C_{pr} = 10^{-6}$ ,  $C_{ns} = C_{ps} = 10^{-8}$ ,  $C_{nr} = 10^{-12}$ ,  $C_{pt} = 10^{-12}$  см $^{-3}$  с $^{-1}$  эВ $^{-1}$ ;  $N_t = 10^{19}$ ,  $N_s = 10^{18}$ ,  $N_r = n_{r0} = 9 \cdot 10^{18}$ ,  $n_{i0} = n_{s0} = 0$  см $^{-3}$ ,  $E_r = 0.3$  эВ,  $N_0 = 3 \times 10^{18}$  см $^{-3}$ ;  $L = 5 \cdot 10^{17}$  см $^{-3}$  с $^{-1}$ . 4—6 —  $C_{ns}$  и  $C_{ps}$  согласно формулам (11),  $E_r = 0.3 - 3 \cdot 10^{-4}$  ( $T = 200$ ) эВ, остальные параметры, как для 1—3. Звездочки — экспериментальные значения  $\sigma_{\text{ФП}}(T)$  для CdCr<sub>2</sub>Se<sub>4</sub>(Ga),  $x = 0.2$  вес %. В диапазоне  $T$  (I—III) зависимость 1 близка к 4 и на рис. 2 не изображена.

$= p_r g_r C_{ns} / g_s C_{nr}$ . В этой области происходит переход основного потока рекомбинации с  $s$ -центров на  $r$ -центры, очищающие  $n$ -тип ФП. При температурах, близких к максимуму  $N_{ct}$ ,  $n \gg p$  и имеет место ИК гашение ФП. При температурах, соответствующих конечному участку области I, и в области II  $t$ -центры ведут себя как ловушки.

*Температурная область III.* Вследствие уменьшения  $N_{ct}$  при дальнейшем росте температуры происходит обратный переход электронов первоначально с  $r$ - и далее частично с  $s$ -центров на  $t$ -центры. До тех пор, пока можно пренебречь термической ионизацией  $r$ -центров, значения  $n$  и  $p$  для разных температур этой области равны значениям этих параметров областей I и II с теми же величинами  $N_{ct}$ .

*Температурная область IV.* Имеет место термическая ионизация дырок с  $r$ -центров в валентную зону;  $t$ -центры являются ловушками. Первоначально вычислялись значения всех параметров модели без учета термической ионизации дырок с  $r$ -центров. Для  $n$ -типа ФП  $g_i = C_{pi} n_i / \sum_{r,s} C_{pi} n_i$  ( $i = r, s$ ). При учете

температурных выбросов дырок с  $r$ -центров уменьшается концентрация электронов и увеличивается концентрация дырок:

$$n = \frac{(1 - G_r) L}{p_s C_{ns}} = \frac{G_r L}{p_r C_{nr}}, \quad p = \frac{(1 - G_r) L}{n_s C_{ps}}, \quad \frac{G_r L}{n_r C_{pr}}, \quad (7)$$

$$G_r = \frac{g_r}{1 + X_r}, \quad X_r = \frac{g_s C_{pr} N_{vr}}{C_{nr} n}, \quad (8)$$

причем должно выполняться условие

$$p_r = p'_r - (n'_t - n_t) - (p_s - p'_s), \quad (9)$$

где  $N_{vr}$  — эффективная плотность дырок в валентной зоне,  $p'_r$ ,  $p'_s$ ,  $n'_t$  — значения параметров, вычисленные без учета температурных выбросов дырок. Подставляя выражения для  $p_s$  и  $p_r$  из (7) в (9), можно получить еще одно выражение для  $G_r$ :

$$G_r = \frac{n C_{nr} \left[ \left( N_r + \frac{n N_t}{n + N_{vt}} + p'_s \right) - \left( n_r + n'_t + \frac{L}{C_{ns}} \right) \right]}{L \left( 1 - \frac{C_{nr}}{C_{ns}} \right)}. \quad (10)$$

Величина  $n$  находилась методом последовательного подбора значений  $n < n'$ , в процессе которого достигалось совпадение значений  $G_r$ , вычисленных согласно (8) и (10). После нахождения  $n$  и  $G_r$  определялись величины  $n_t$  и  $p$ .

На основе вычисленных зависимостей  $n(T)$  и  $p(T)$  (рис. 2, кривые 1, 2) и экспериментальных температурных зависимостей подвижностей электронов ( $\mu_n$ )

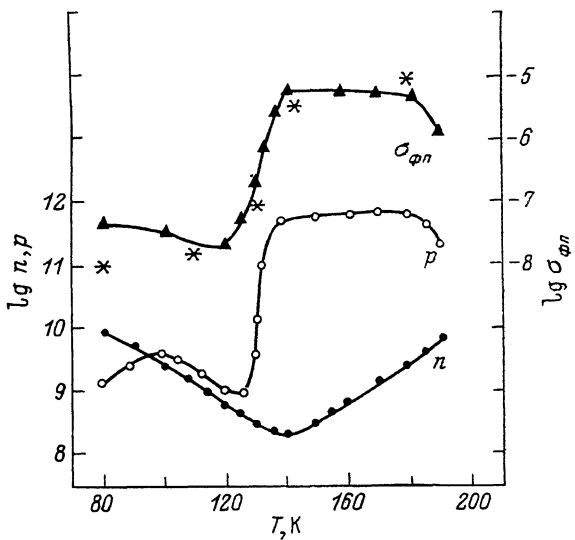


Рис. 3. Температурные зависимости концентраций электронов  $n$ , дырок  $p$  и удельной фотопроводимости  $\sigma_{\text{ФП}}$ , вычисленные при разных значениях параметров.

$N_f = 10^{18}$ ,  $N_s = 10^{18}$ ,  $N_r = n_{tr} = 5 \cdot 10^{17} \text{ см}^{-3}$ ; остальные параметры, как для зависимостей 4—6 на рис. 2. Звездочки — экспериментальные значения  $\sigma_{\text{ФП}}(T)$  для  $\text{CdCr}_2\text{Se}_4 \langle \text{Ga} \rangle$ ,  $x = 0.02$  вес %.<sup>11</sup>

[<sup>11</sup>] и дырок ( $\mu_p$ ) [<sup>2</sup>] рассчитана температурная зависимость ФП [ $\sigma_{\text{ФП}}(T)$ ], которая представлена на рис. 2 (кривая 3). Звездочками на данном рисунке отмечены экспериментальные значения  $\sigma_{\text{ФП}}(T)$ , полученные из измерений ФП при возбуждении светом с длиной волны, соответствующей межзонному поглощению ( $h\nu = 1.4$  эВ), при учете того, что фотоносители образуются на толщине  $\sim 3 \cdot 10^{-4} \text{ см}^{-1}$ . Измерения проводились на образцах и по методике работы [<sup>2</sup>].

Видно, что модель описывает основные особенности эксперимента. Лучшее совпадение расчетных и экспериментальных результатов можно получить при учете температурных зависимостей величин сечений захвата  $s$ -центров (в большей части температурной области, где имеются экспериментальные результаты, основной канал рекомбинации —  $s$ -центры). Согласно используемой модели, электрон захватывается нейтральным  $s$ -центром, а последующий захват дырки — заряженным, поэтому учитывалось уменьшение  $C_{ps}$  с ростом температуры [<sup>12</sup>]. Кроме того, в  $C_{ns}(T)$  и  $C_{ps}(T)$  введены члены, учитывающие возможное в магнитном полупроводнике увеличение сечений захвата носителей, связанное с флуктуациями магнитного упорядочения, имеющие максимум

при  $T=T_K$ . С учетом вышесказанного  $C_{ns}(T)$  и  $C_{ps}(T)$  записывались следующим образом:

$$C_{ns} = B + D \exp [-(T - T_K)^2/Q^2], \quad C_{ps} = AT^{-2.5} + R \exp [-(T - T_K)^2/Q^2]. \quad (11)$$

Параметры  $A$ ,  $B$ ,  $D$ ,  $R$ , равные соответственно  $5.75 \cdot 10^{-5}$ ,  $5 \cdot 10^{-11}$ ,  $1.45 \cdot 10^{-9}$ ,  $2.7 \cdot 10^{-9}$  см $^3$ /с, и  $Q=20$  выбирались таким образом, чтобы при  $T=80$  К  $C_{ps}=10^{-9}$  и  $C_{ns}=5 \cdot 10^{-11}$ , а влияние флуктуаций магнитного порядка имеет место в диапазоне 80–200 К, так что при  $T=T_K=130$  К  $C_{ps}=3 \cdot 10^{-9}$ , а  $C_{ns}=1.5 \times 10^{-9}$  см $^3$ /с. Результаты вычислений зависимостей  $n(T)$ ,  $p(T)$  и  $\sigma_{\text{ФИ}}(T)$  для этого случая представлены кривыми 4–6 на рис. 2. Результаты вычислений  $p(T)$ ,  $n(T)$  и  $\sigma_{\text{ФИ}}(T)$  для значений параметров, соответствующих кристаллу  $A$ -типа, дающие зависимость  $\sigma_{\text{ФИ}}(T)$ , близкую к экспериментальным зависимостям для слабо легированных и нелегированных кристаллов CdCr<sub>2</sub>Se<sub>4</sub>, представлены на рис. 3. При выбранном соотношении параметров использовались приближения, соответствующие области II предыдущего рассмотрения.

Внешнее магнитное поле вызывает понижение энергии дна зоны проводимости, причем величина эффекта максимальна при  $T \sim T_K$ . Это приводит к увеличению концентрации электронов, росту ФП в кристаллах  $B$ -типа, уменьшению концентрации дырок и падению ФП в кристаллах  $A$ -типа, что соответствует наблюдаемому в эксперименте.

#### Список литературы

- [1] Treitinger L., Brendecke H. // Mater. Res. Bull. 1977. V. 12. N 9. P. 1021–1025.
- [2] Новиков Л. Н., Голик Л. Л., Аминов Т. Г., Жегалина В. А. // ФТТ. 1980. Т. 22. В. 10. С. 3032–3040.
- [3] Iliev M., Hadjiev V. // J. Phys. C: Sol. St. Phys. 1983. V. 16. N 33. P. 6387–6394.
- [4] Викторович В. С., Галдикас А. П., Гребинский С. И., Захаров С. Я., Аминов Т. Г., Шабунина Г. Г. // ФТТ. 1988. Т. 30. В. 11. С. 3465–3467.
- [5] Белов К. П., Королева Л. И., Баторова С. Д. // ЖЭТФ. 1975. Т. 70. В. 1. С. 141–148.
- [6] Лашкарев В. Е., Любченко А. В., Шейнкман М. К. Неравновесные процессы в фотопроводниках. Киев, 1981. 264 с.
- [7] Нагаев Э. Л. Физика магнитных полупроводников. М., 1979. 432 с.
- [8] Голик Л. Л., Кунькова З. Э., Аминов Т. Г., Калиников В. Т. // ФТТ. 1980. Т. 22. В. 3. С. 877–880.
- [9] Голик Л. Л., Новиков Л. Н., Аминов Т. Г., Жегалина В. А. // ФТТ. 1977. Т. 19. В. 9. С. 1823–1826.
- [10] Нагаев Э. Л., Соколова Э. Б. // ФТТ. 1977. Т. 19. В. 3. С. 732–739.
- [11] Amith A., Gunsalus G. L. // JAP. 1969. N 3. P. 1020–1022.
- [12] Абакумов В. Н., Перель В. Н., Яссевич И. Н. // ФТП. 1979. Т. 12. В. 1. С. 1–32.

Институт радиотехники и электроники  
АН СССР  
Фрязино

Получена 18.03.1991  
Принята к печати 17.06.1991